

# On the Effectiveness of Visible Watermarks

---

## 前景蒙版 (alpha matte)

也称前景透明度或透明度蒙版，是前背景分离的结果，是一个灰度图，每一个像素点的灰度值表示原始图像每个像素属于前景物体的程度，白色代表某一个像素确定属于前景，黑色代表某一个像素确定属于背景。

$$I = \alpha \times F + (1 - \alpha) \times B$$

I: 图像 F: 前景图像 B: 背景图像  $\alpha$  alpha matte

如果再具体一点，针对每个像素，背景颜色为  $B = [R_B, G_B, B_B]$ ，前景对象颜色为  $F = [\alpha R_F, \alpha G_F, \alpha B_F]$ ，于是matting方程为  $I = F + (1 - \alpha) \times B$ 。通常应用中都是求这个方程的解，以获得图像的最后分割结果。

$$R = \alpha \times R_F + (1 - \alpha) \times R_B$$

$$G = \alpha \times G_F + (1 - \alpha) \times G_B$$

$$B = \alpha \times B_F + (1 - \alpha) \times B_B$$

解法：灰度图。令  $R_F = G_F = B_F$ 。

## 高斯滤波

【转自：<https://blog.csdn.net/lvquanyue9483/article/details/81592574> / <https://blog.csdn.net/lbelievesunshine/article/details/104881204>】

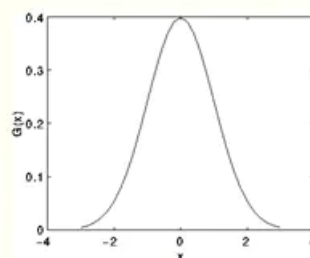
### 含义

高斯滤波就是对整幅图像进行加权平均的过程，每一个像素点的值，都由其本身和邻域内的其他像素值经过加权平均后得到。

### 高斯函数

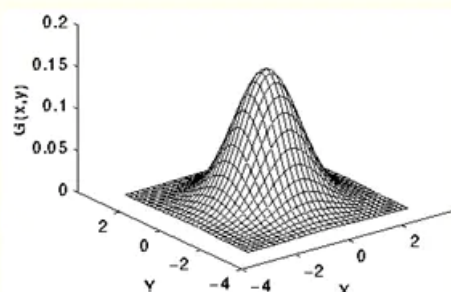
一维高斯分布：

$$G(x) = \frac{1}{\sqrt{2\pi}\sigma} e^{-\frac{x^2}{2\sigma^2}}$$



二维高斯分布：

$$G(x, y) = \frac{1}{2\pi\sigma^2} e^{-\frac{x^2+y^2}{2\sigma^2}}$$



$\sigma$ 描述正态分布资料数据分布的离散程度， $\sigma$ 越大，数据分布越分散， $\sigma$ 越小，数据分布越集中。也称为是正态分布的形状参数， $\sigma$ 越大，曲线越扁平，反之， $\sigma$ 越小，曲线越瘦高。

## 高斯核

理论上，高斯分布在所有定义域上都有非负值，这就需要一个无限大的卷积核。实际上，仅需要取均值周围3倍标准差内的值，以外部份直接去掉即可。

**高斯滤波的重要两步就是先找到高斯模板然后再进行卷积。**

对二维高斯分布，不必纠结于系数  $\frac{1}{(\sqrt{2 * \pi * \sigma})^2}$ ，因为它只是一个常数！并不会影响互相之间的比例

关系，而且最终都要进行归一化，所以在实际计算时我们忽略它而只计算后半部分

$$e^{-((x-ux)^2 + (y-uy)^2) / 2\sigma^2}$$

其中(x,y)为掩膜内任一点的坐标，(ux,uy)为掩膜内中心点的坐标，在图像处理中可认为是整数； $\sigma$ 是标准差。

例如：要产生一个3×3的高斯滤波器模板，以模板的中心位置为坐标原点进行取样。（x轴水平向右，y轴竖直向下）

(-1,1)	(0,1)	(1,1)
(-1,0)	(0,0)	(1,0)
(-1,-1)	(0,-1)	(1,-1)

（模板在各个位置的坐标，如上图所示↑）

这样，将各个位置的坐标代入到高斯函数中，得到的值就是滤波器的系数。

如果窗口模板的大小为  $(2k+1) \times (2k+1)$ ，则：

$$H_{i,j} = \frac{1}{2\pi\sigma^2} e^{-\frac{(i-k-1)^2 + (j-k-1)^2}{2\sigma^2}}$$

（窗口模板中各个元素的计算公式↑）

这样计算出来的模板有两种形式：小数和整数

小数形式的模板，就是直接计算得到的值，没有经过任何的处理；

整数形式的模板，需要进行归一化处理，将模板左上角的值归一化为1。使用整数的模板时，需要在模板的前面加一个系数，系数为模板中元素和的倒数。

例如，标准差 $\sigma = 1.3$ 的 $3 \times 3$ 的整数形式的高斯滤波器如下：

$$K = \frac{1}{16} \cdot \begin{bmatrix} 1 & 2 & 1 \\ 2 & 4 & 2 \\ 1 & 2 & 1 \end{bmatrix}$$

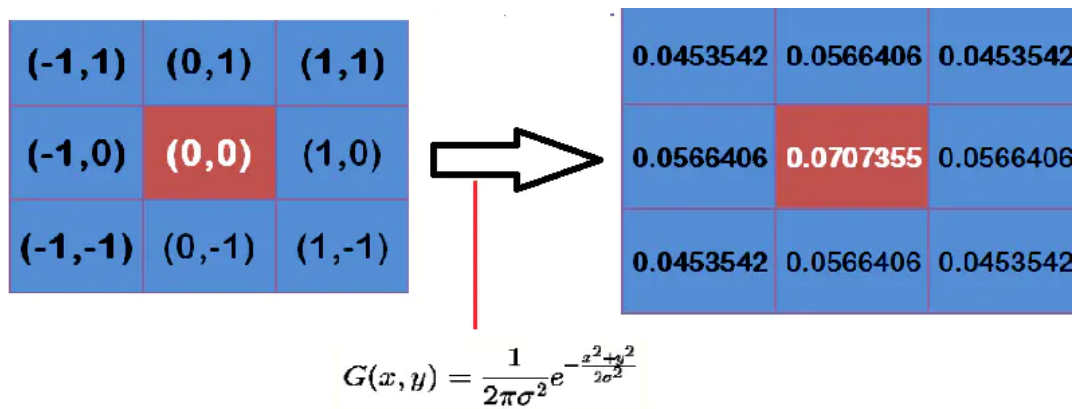
(标准差 $\sigma = 1.3$ 的8近邻高斯滤波器如图↑)

### $\sigma$ 的意义及选取

通过上述的实现过程，不难发现，高斯滤波器模板的生成最重要的参数就是高斯分布的标准差 $\sigma$ 。标准差代表着数据的离散程度，如果 $\sigma$ 较小，那么生成的模板的中心系数较大，而周围的系数较小，这样对图像的平滑效果就不是很明显；反之， $\sigma$ 较大，则生成的模板的各个系数相差就不是很大，比较类似均值模板，对图像的平滑效果比较明显。

### 举个例子

假定中心点的坐标是 $(0,0)$ ，那么取距离它最近的8个点坐标，为了计算，需要设定 $\sigma$ 的值。假定 $\sigma = 1.5$ ，则模糊半径为1的高斯模板就算如下



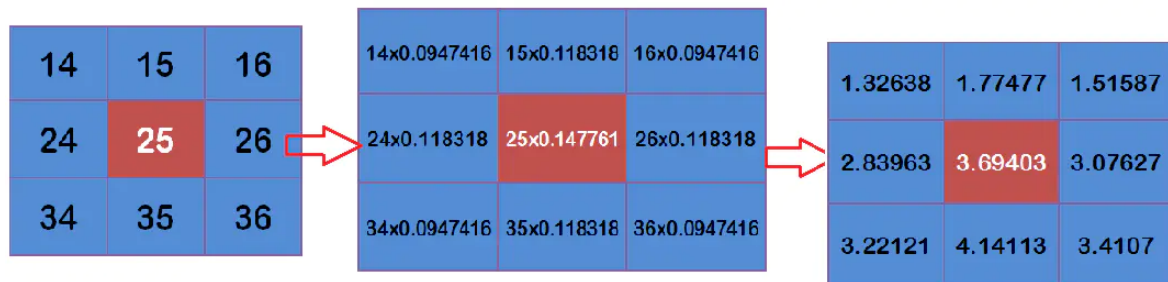
这个时候我们我们还要确保这九个点加起来为1（这个是高斯模板的特性），这9个点的权重总和等于0.4787147，因此上面9个值还要分别除以0.4787147，得到最终的高斯模板。

0.0947416	0.118318	0.0947416
0.118318	0.147761	0.118318
0.0947416	0.118318	0.0947416

### 高斯滤波计算

举个例子：

假设现有9个像素点，灰度值（0-255）的高斯滤波计算如下：



参考来源： (<https://blog.csdn.net/nima1994/article/details/79776802>)

将这9个值加起来，就是中心点的高斯滤波的值。

对所有点重复这个过程，就得到了高斯模糊后的图像。

由于图像的长宽可能不是滤波器大小的整数倍，因此我们需要在图像的边缘补0，这种方法叫做 zero padding。

## opencv函数实现高斯滤波

```
import cv2

img=cv2.imread('../paojie.jpg')

#(3, 3)表示高斯滤波器的长和宽都为3，1.3表示滤波器的标准差

out=cv2.GaussianBlur(img,(3,3),1.3)

cv2.imwrite('out.jpg',out)

cv2.imshow('result',out)

cv2.waitKey(0)

cv2.destroyAllWindows()
```

## Canny边缘检测

【转自：<https://www.cnblogs.com/mmmmc/p/10524640.html>】

### 评价标准

Canny提出了一个对于边缘检测算法的评价标准，包括：

- (1) 以低的错误率检测边缘，也即意味着需要尽可能准确的捕获图像中尽可能多的边缘。
- (2) 检测到的边缘应精确定位在真实边缘的中心。
- (3) 图像中给定的边缘应只被标记一次，并且在可能的情况下，图像的噪声不应产生假的边缘。

简单来说就是，检测算法要做到：**边缘要全，位置要准，抵抗噪声的能力要强。**

### 实现步骤

### step1: 高斯平滑滤波

滤波是为了去除噪声，选用高斯滤波也是因为在众多噪声滤波器中，高斯表现最好。一个大小为  $(2k+1) \times (2k+1)$  的高斯滤波器核（核一般都是奇数尺寸的）的生成方程式由下式给出：

$$H_{ij} = \frac{1}{2\pi\sigma^2} \exp\left(-\frac{(i-(k+1))^2 + (j-(k+1))^2}{2\sigma^2}\right); 1 \leq i, j \leq (2k+1) \quad (3-1)$$

下面是一个  $\sigma = 1.4$ ，尺寸为  $3 \times 3$  的高斯卷积核的例子，注意矩阵求和值为1（归一化）：

$$H = \begin{bmatrix} 0.0924 & 0.1192 & 0.0924 \\ 0.1192 & 0.1538 & 0.1192 \\ 0.0924 & 0.1192 & 0.0924 \end{bmatrix}$$

高斯卷积核的大小将影响Canny检测器的性能。尺寸越大，去噪能力越强，因此噪声越少，但图片越模糊，canny检测算法抗噪声能力越强，但模糊的副作用也会导致定位精度不高，一般情况下，推荐尺寸  $5 \times 5$ ， $3 \times 3$  也行。

### step2: 计算梯度强度和方向

边缘的最重要的特征是灰度值剧烈变化，如果把灰度值看成二元函数值，那么灰度值的变化可以用二元函数的“导数”（或者称为梯度）来描述。由于图像是离散数据，导数可以用差分值来表示，差分在实际工程中就是灰度差，说人话就是两个像素的差值。一个像素点有8邻域，那么分上下左右斜对角，因此Canny算法使用四个算子来检测图像中的水平、垂直和对角边缘。算子是以图像卷积的形式来计算梯度，比如Roberts，Prewitt，Sobel等，这里选用Sobel算子来计算二维图像在x轴和y轴的差分值（这些数字的由来？），将下面两个模板与原图进行卷积，得出**x和y轴的差分值图**，最后计算该点的梯度G和方向 $\theta$

$$S_x = \begin{bmatrix} -1 & 0 & 1 \\ -2 & 0 & 2 \\ -1 & 0 & 1 \end{bmatrix} \quad S_y = \begin{bmatrix} 1 & 2 & 1 \\ 0 & 0 & 0 \\ -1 & -2 & -1 \end{bmatrix}$$

$$G = \sqrt{G_x^2 + G_y^2}$$
$$\theta = \arctan(G_y / G_x)$$

首先了解opencv的二维滤波函数：`dst=cv.filter2D(src, ddepth, kernel[, dst[, anchor[, delta[, borderType]]])`

**dst:** 输出图片

**src:** 输入图片

**ddepth:** 输出图片的深度, 详见 [combinations](#), 如果填-1, 那么就跟与输入图片的格式相同。

**kernel:** 单通道、浮点精度的卷积核。

以下是默认参数：

**anchor**: 内核的基准点(anchor), 其默认值为(-1,-1)表示位于kernel的中心位置。基准点即kernel中与进行处理的像素点重合的点。举个例子就是在上面的step1中,  $e=HA$ 得到的 $e$ 是放在原像素的33的哪一个位置, 一般来说都是放在中间位置, 设置成默认值就好。

**delta**: 在储存目标图像前可选的添加到像素的值, 默认值为0。

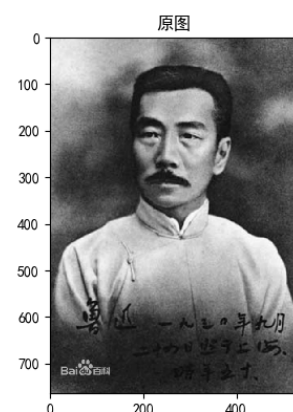
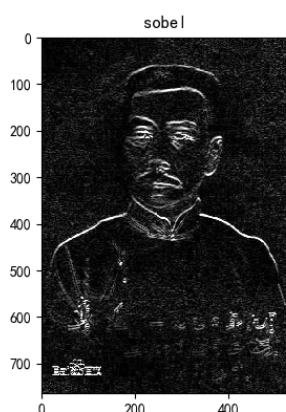
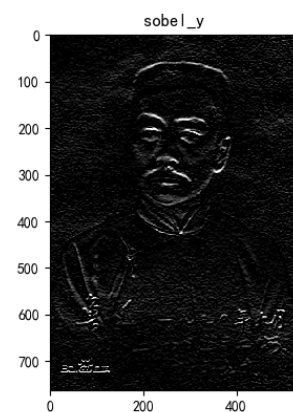
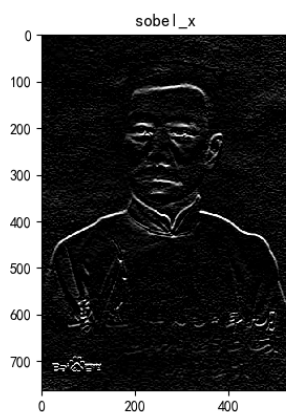
**borderType**: 像素向外逼近的方法, 默认值是BORDER\_DEFAULT,即对全部边界进行计算。

```
import cv2
import numpy as np
import matplotlib.pyplot as plt

img=cv2.imread("images/luxun.png",cv2.IMREAD_GRAYSCALE) # 读入图片
sobel_x = np.array([[ -1,  0,  1],[-2, 0,+2],[-1,  0,  1]]) # sobel的x方向算子
sobel_y = np.array([[ 1,  2,  1],[0,0,0],[-1, -2, -1]]) # sobel的y方向算子
sobel_x=cv2.flip(sobel_x,-1) # cv2.filter2D()计算的是相关, 真正的卷积需要翻
转, 再进行相关计算。
sobel_x=cv2.flip(sobel_x,-1)
# cv2.flip()第二个参数: 等于0: 沿着x轴反转。大于0: 沿着y轴反转。小于零: 沿着x轴, y轴同时反转

# 卷积 opencv是用滤波器函数实现的
img_x=cv2.filter2D(img,-1, sobel_x)
img_y=cv2.filter2D(img,-1, sobel_y)
# 画图 plt不支持中文, 但是可以通过以下方法设置修复
plt.rcParams['font.sans-serif']=['SimHei']
plt.rcParams['axes.unicode_minus'] = False

plt.subplot(221), plt.imshow(img_x, 'gray'),plt.title('sobel_x')
plt.subplot(222), plt.imshow(img_y, 'gray'),plt.title('sobel_y')
plt.subplot(223), plt.imshow(img_y+img_x, 'gray'),plt.title('sobel')
plt.subplot(224), plt.imshow(img, 'gray'),plt.title('原图')
plt.show()
```

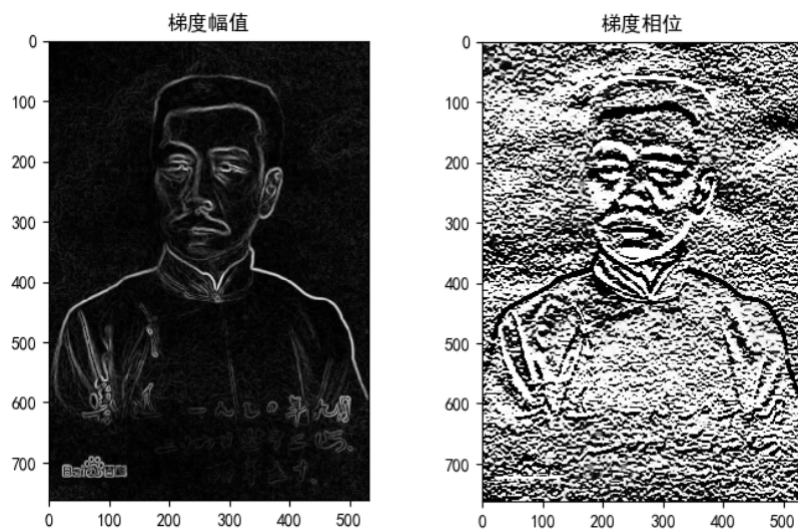




需要注意一点：在图像处理领域，卷积运算的定义是先将核关于x轴和y轴反转，然在做相关运算。然而工程实践中往往跳过反转，用相关运算代替卷积（比如opencv）。如果你需要严格的卷积运算，应该注意原函数的具体实现方式。sobel算子天生关于中心对称，所以反转与否并不影响结果。

作者自己写的卷积函数：

```
def conv2d(src, kernel): # 输入必须为方形卷积核
    # 本函数仍然是相关运算，没有反转。如果非要严格的卷积运算，把下面一行代码的注释取消。
    # kernel=cv2.flip(kernel,-1)
    [rows,cols] = kernel.shape
    border=rows//2 # 向下取整 获得卷积核边长
    [rows,cols]=src.shape
    dst = np.zeros(src.shape) # 采用零填充再卷积，卷积结果不会
    变小。
    # print("图像长: ",rows,"宽: ",cols,"核边界",border)
    # print(border,rows-border,border,cols-border)
    temp=[]
    for i in range(border,rows-border):
        for j in range(border,cols-border):
            temp=src[i-border:i+border+1,j-border:j+border+1] # 从图像获取与核匹配
            的图像
            # 切片语法：索引位置包括开头但不包括结尾 [start: end: step]
            dst[i][j]=(kernel*temp).sum() # 计算卷积
    return dst
```

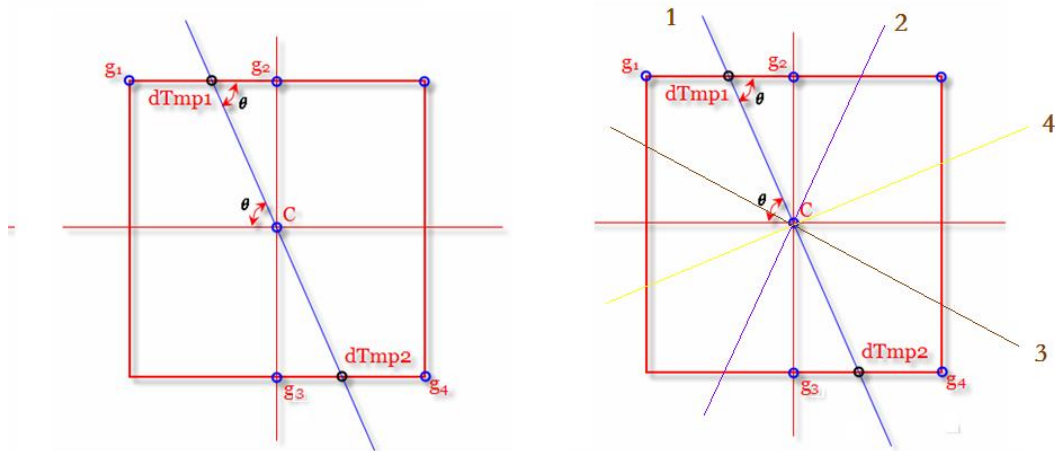


sobel算子计算的边缘很粗很亮，比较明显，但是不够精确，我们的目标是精确到一个像素宽，至于梯度相位就很难看出什么特征，并且梯度相位实际上是为了下一步打基础的。下面附上代码：

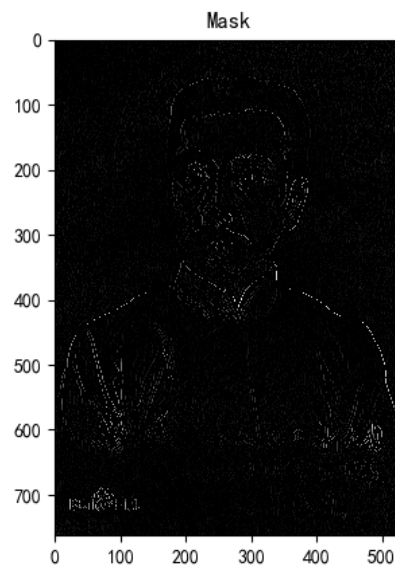
### step3:非极大值抑制

sobel算子检测出来的边缘太粗了，我们需要抑制那些梯度不够大的像素点，只保留最大的梯度，从而达到瘦边的目的。这些梯度不够大的像素点很可能是某一条边缘的过渡点。按照高数上二位函数的极大值的定义，即对点  $(x_0, y_0)$  的某个邻域内所有  $(x, y)$  都有  $f(x, y) \leq f(x_0, y_0)$ ，则称  $f$  在  $(x_0, y_0)$  具有一个极大值，极大值为  $f(x_0, y_0)$ 。简单方案是判断一个像素点的8邻域与中心像素谁更大，但这很容易筛选出噪声，因此我们需要用梯度和梯度方向来辅助确定。

如下图所示，中心像素C的梯度方向是蓝色直线，那么只需比较中心点C与dTmp1和dTmp2的大小即可。由于这两个点的像素不知道，假设像素变化是连续的，就可以用g1、g2和g3、g4进行线性插值估计。设g1的幅值 $M(g1)$ ，g2的幅值 $M(g2)$ ，则 $M(dtmp1)=wM(g2)+(1-w)M(g1)$ ，其 $w=\text{distance}(dtmp1,g2)/\text{distance}(g1,g2)$ 。也就是利用g1和g2到dTmp1的距离作为权重，来估计dTmp1的值。w在程序中可以表示为 $\tan(\theta)$ 来表示，具体又分为四种情况（下面右图）讨论。



如下图，经过非极大值抑制可以很明显的看出去除了很多点，边缘也变得很细。在程序实现中，要注意opencv的默认坐标系是从左到右为x轴，从上到下是y轴，原点位于左上方，计算g1、g2、g3、g4的位置的时候，一定要小心。经过非极大值抑制可以看出来图片的边缘明显变细，很多看起来黑色的部分其实有值的，只是因为值太小了看不清楚，而这些黑色的部分可能是噪声或者其他原因造成的局部极大值，下一步我们就要用双阈值来限定出强边缘和弱边缘，尽可能的减少噪声的检出。



```
# step3: 非极大值抑制
anchor=np.where(G!=0) # 获取非零梯度的位置
Mask=np.zeros(img.shape)

for i in range(len(anchor[0])):
    x=anchor[0][i]
    y=anchor[1][i]
    center_point=G[x,y]
    current_theta=theta[x,y]
    dTmp1=0
    dTmp2=0
    w=0
    if current_theta>=0 and current_theta<45:
```



```

#          g1          第一种情况
# g4  C  g2
# g3
g1 = G[x + 1, y - 1]
g2 = G[x + 1, y]
g3 = G[x - 1, y + 1]
g4 = G[x - 1, y]
w=abs(np.tan(current_theta*np.pi/180)) # tan0-45范围为0-1
dTmp1= w*g1+(1-w)*g2
dTmp2= w*g3+(1-w)*g4

elif current_theta>=45 and current_theta<90:
    #          g2 g1          第二种情况
    #          C
    # g3  g4

    g1 = G[x + 1, y - 1]
    g2 = G[x, y - 1]
    g3 = G[x - 1, y + 1]
    g4 = G[x, y + 1]
    w = abs(np.tan((current_theta-90) * np.pi / 180))
    dTmp1= w*g1+(1-w)*g2
    dTmp2= w*g3+(1-w)*g4

elif current_theta>=-90 and current_theta<=-45:
    # g1  g2          第三种情况
    #          C
    #          g4 g3

    g1 = G[x - 1, y - 1]
    g2 = G[x, y - 1]
    g3 = G[x + 1, y + 1]
    g4 = G[x, y + 1]
    w = abs(np.tan((current_theta-90) * np.pi / 180))
    dTmp1= w*g1+(1-w)*g2
    dTmp2= w*g3+(1-w)*g4

elif current_theta>=-45 and current_theta<0:
    # g3          第四种情况
    # g4  C  g2
    #          g1

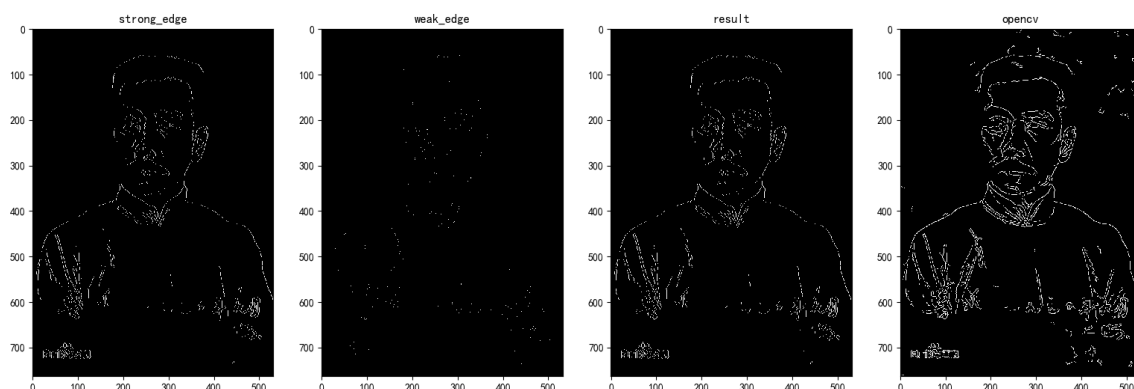
    g1 = G[x + 1, y + 1]
    g2 = G[x + 1, y]
    g3 = G[x - 1, y - 1]
    g4 = G[x - 1, y]
    w = abs(np.tan(current_theta * np.pi / 180))
    dTmp1= w*g1+(1-w)*g2
    dTmp2= w*g3+(1-w)*g4

if dTmp1<center_point and dTmp2<center_point: # 记录极大值结果
    Mask[x,y]=center_point
#Mask=(Mask-Mask.min())/(Mask.max()-Mask.min())*256 #归一化
plt.imshow(Mask, 'gray'),plt.title('Mask')
plt.show()

```

**step4: 用双阈值算法检测和连接边缘**

双阈值法非常简单，我们假设两类边缘：经过非极大值抑制之后的边缘点中，**梯度值超过T1的称为强边缘，梯度值小于T1大于T2的称为弱边缘，梯度小于T2的不是边缘**。可以肯定的是，强边缘必然是边缘点，因此必须将T1设置的足够高，以要求像素点的梯度值足够大（变化足够剧烈），而弱边缘可能是边缘，也可能是噪声，如何判断呢？**当弱边缘的周围8邻域有强边缘点存在时，就将该弱边缘点变成强边缘点**，以此来实现对强边缘的补充。实际中人们发现T1:T2=2:1的比例效果比较好，其中T1可以人为指定，也可以设计算法来自适应的指定，比如定义梯度直方图的前30%的分界线为T1，我实现的是人为指定阈值。检查8邻域的方法叫边缘滞后跟踪，连接边缘的办法还有区域生长法等等。强边缘、弱边缘、综合效果、和opencv的canny函数对比如下：



作者总结：

实现结果还是很打击的，我检测到的边缘过于断续，没有opencv实现的效果好。查了一下opencv的源码，这里猜测两个可能的原因：源码里梯度的方向被近似到四个角度之一（0, 45, 90, 135），但我用线性插值的结果是梯度方向更精确，而过于精确-->过于严格-->容易受到噪声干扰，所以在非极大值抑制这之后，我比opencv少了更多的点，最终导致了边缘不够连续；第二个原因可能是边缘连接算法效果不够好，把图象放大来看，我产生的边缘倾向于对角线上连接，而opencv的边缘倾向于折线连接，因此opencv的边缘更完整连续，而我的边缘更细，更容易断续。

## 论文中的公式

$$J(p) = \alpha(p)W(p) + (1 - \alpha(p))I(p), \quad (1)$$

$$I(p) = \frac{J(p) - \alpha(p)W(p)}{1 - \alpha(p)}. \quad (2)$$

J: watermarked image W: watermark I: natural image

$$J_k = \alpha W + (1 - \alpha)I_k, \quad k = 1, \dots, K \quad (3)$$

$\{I_k\}$ : 图像集

Our goal is to recover  $W$ ,  $\alpha$  and  $\{I_k\}_{k=1}^K$  given  $\{J_k\}_{k=1}^K$ .

This *multi-image matting* problem is still under-determined as there are  $3K$  equations and  $3(K + 1) + 1$  unknowns per pixel, for  $K$  color images. However, the coherency of  $W$  and  $\alpha$  over the image collection, together with natural image priors, allow solving it to high accuracy, fully automatically.

### 3.1. Initial Watermark Estimation & Detection

#### I. Estimating the Matted Watermark

$$\nabla \widehat{W}_m(p) = \text{median}_k(\nabla J_k(p)). \quad (4)$$

As the number of images  $K$  increases, Eq. 4 converges to the gradients of the true matted watermark,  $W_m = \alpha W$ , up to a shift (see Fig. 3). To demonstrate why that is the case, we treat  $I_k$  and  $J_k$  as random variables, and compute the expectation  $E[\nabla J_k]$ . Using Eq. 3 we have,

$$\begin{aligned} E[\nabla J_k] &= E[\nabla W_m] + E[\nabla I_k] - E[\nabla(\alpha I_k)] \\ &= \nabla W_m + E[\nabla I_k] - \nabla \alpha E[I_k] - \alpha E[\nabla I_k] \\ &= \nabla W_m - \nabla \alpha E[I_k], \end{aligned} \quad (5)$$

use Canny with 0.4 threshold

use Poisson reconstruction to obtain the initial matted watermark  $\widehat{W}_m \approx W_m$ .

#### II. Watermark Detection

use Chamfer Distance to detect the watermark in each of the images

### 3.2. Multi-Image Matting and Reconstruction

$\arg \min F(x,y)$  : 当 $F(x,y)$ 取得最小值时, 变量 $x,y$ 的取值

$$\begin{aligned} \arg \min_{W, \alpha, \{I_k\}} \sum_k &\left( E_{\text{data}}(W, \alpha, I_k) + \lambda_I E_{\text{reg}}(\nabla I_k) \right) \\ &+ \lambda_w E_{\text{reg}}(\nabla W) + \lambda_\alpha E_{\text{reg}}(\nabla \alpha) + \beta E_f(\nabla(\alpha W)). \end{aligned} \quad (6)$$

$$E_{\text{data}}(I_k, W, \alpha) = \sum_p \Psi(|\alpha W + (1 - \alpha)I_k - J_k|^2), \quad (7)$$

where  $\Psi(s^2) = \sqrt{s^2 + \epsilon^2}$ ,  $\epsilon = 0.001$  is a robust function that approximates  $L_1$  distance ( $p$  is omitted for brevity).

惩罚项

$$E_{\text{reg}}(\nabla I) = \sum_p \Psi(|\alpha_x|I_x^2 + |\alpha_y|I_y^2), \quad (8)$$

使

得水印图像平滑

$$E_f(\nabla W_m) = \sum_p \Psi(\|\nabla W_m - \nabla \widehat{W}_m\|^2). \quad (9)$$

保持真实性

## Optimization

**Optimization** The resulting optimization problem (Eq. 6) is non-linear and the number of unknowns may be very large when dealing with a large collection ( $O(KN)$  unknowns, where  $N$  and  $K$  are the number of pixels per image, and number of images, respectively). To deal with these challenges, we introduce **auxiliary variables**  $\{W_k\}$ , where  $W_k$  is the watermark of the  $k^{\text{th}}$  image. Each per-image watermark  $W_k$  is required to be close to  $W$ . Formally, we rewrite the objective as follows

$$\arg \min \sum_k (E_{\text{data}}(I_k, W_k, \alpha) + \lambda_I E_{\text{reg}}(\nabla I_k) + \lambda_w E_{\text{reg}}(\nabla W_k) + \lambda_\alpha E_{\text{reg}}(\nabla \alpha) + \beta E_f(\nabla(\alpha W_k)) + \gamma \sum_k E_{\text{aux}}(W, W_k)), \quad (10)$$

where  $E_{\text{aux}}(W, W_k) = \sum_p |W - W_k|$ .

Using these auxiliary variables, we solve smaller and simpler optimization problems (using **alternating minimization**). The resulting iterative algorithm consists of the following steps.

## I. Image-Watermark Decomposition

**I. Image-Watermark Decomposition** At this step, we minimize the objective w.r.t.  $W_k$ , and  $I_k$ , while keeping  $\alpha$  and  $W$  fixed. Thus, the optimization in Eq. 10 reduces to:

$$\arg \min_{W_k, I_k} E_{\text{data}}(I_k, W_k) + \lambda_I E_{\text{reg}}(\nabla I_k) + \lambda_w E_{\text{reg}}(\nabla W_k) + \beta E_f(\nabla(\alpha W_k)) + \gamma E_{\text{aux}}(W, W_k). \quad (11)$$

We solve this minimization problem using **Iteratively-Reweighed-Least-Square (IRLS)**, where the resulting linear system is derived in Supplementary Materials (SM).

【! 迭代加权最小二乘法】

## II. Watermark Update

估计全局W -> 使得Eaux最小 -> 求{Wk}平均值

$$W = \text{median}_k W_k.$$

## III. Matte Update

**III. Matte Update.** Here, we solve for  $\alpha$ , while keeping the rest of the unknowns fixed. In this case, we minimize the following objective over  $\alpha$ :

$$\sum_k E_{\text{data}}(\alpha, I_k, W) + \lambda_\alpha E_{\text{reg}}(\nabla \alpha) + \beta E_f(\nabla(\alpha W)). \quad (12)$$

Here too, the solution is obtained using IRLS (the final linear system is derived in the SM).

These steps are iterated several times until convergence.

## Matte and Blend Factor Initialization

$$\alpha = c \cdot \alpha n$$

【! 自适应阈值】初始化matte

【最小二乘法】初始化c

去水印：利用W和a